

## بررسی پراکندگی مکانی - زمانی گاز مونوکسیدکربن در اتمسفر ایران

### با استفاده از داده‌های Aqua/AIRS

کوهزاد رئیس پور<sup>۱</sup>؛ استادیار گروه اقلیم شناسی، گروه جغرافیا، دانشگاه زنجان، زنجان، ایران.  
یونس خسروی؛ استادیار اقلیم شناسی، گروه محیط زیست، دانشگاه زنجان، زنجان، ایران.

دریافت مقاله : ۱۳۹۷/۱۲/۱۱ پذیرش نهایی: ۱۳۹۸/۱۲/۰۸

#### چکیده

یکی از معضلات اساسی کشورهای بزرگ جهان پدیده‌ی آلودگی هواست به طوری که سالانه خسارات مالی، جانی و اجتماعی عمده‌ای را متحمل می‌نماید. با توجه به اهمیت حیاتی هوا و سیر صعودی افزایش عوامل آلوده کننده‌ی آن، ضرورت مطالعه‌ی عوامل آلاینده‌ی آن به منظور آگاهی از وضعیت موجود امری ضروری به نظر می‌رسد. این پدیده یکی از مهمترین معضلات بخشهای زیادی از کشور ایران نیز می‌باشد که به دلایل متعددی روز به روز بر میزان آن افزوده شده‌است. مونوکسیدکربن یکی از خطرناکترین آلاینده‌های معیار هوا می‌باشد که با توجه به اهمیت مطالعه‌ی آن، تکنیکها و روشهای متعددی جهت پایش آن در اتمسفر کره زمین به کار گرفته شده‌است. در این مطالعه نیز از داده‌های مونوکسیدکربن سنجنده‌ی Aqua/ AIRS که امکان بررسی میزان و روند تغییرات گاز مونوکسیدکربن را در اتمسفر تمام جهان فراهم نموده استفاده گردید. داده‌های مربوطه با فرمت NetCDF طی دوره‌ی آماری (۲۰۱۸ - ۲۰۰۳) از وبگاه [https://disc.gsfc.nasa.gov/datasets/AIRS\\*STM\\_006](https://disc.gsfc.nasa.gov/datasets/AIRS*STM_006) استخراج و با استفاده از نرم‌افزارهای ArcGIS و Grads بارزسازی و تحلیل شده است. نتایج حاصله بیانگر کاهش میزان مونوکسیدکربن در طول سربهای زمانی ماهانه و سالانه‌ی بوده‌است. در این میان تفاوت‌های ماهانه و فصلی بسیار چشمگیر بوده به طوری که به لحاظ ماهانه، بیشترین میزان مونوکسیدکربن در ماههای ژانویه، فوریه و مارس و کمترین میزان آن در ماههای آگوست، سپتامبر و اکتبر اتفاق افتاده‌است. در میان فصول، بیشترین و کمترین میزان مونوکسیدکربن به ترتیب در فصول زمستان و تابستان مشاهده گردید. به لحاظ مکانی نیز، بیشترین میزان مونوکسیدکربن سطحی با میانگین ۱۵۰ ppb بر فراز شهر تهران و ناحیه ساحلی دریای خزر و کمترین میزان آن با میانگین ۱۱۵ ppb بر روی ارتفاعات زاگرس بارزسازی گردید.

واژه های کلیدی: آلودگی هوا، مونوکسیدکربن، AIRS، سنجش از دور، ایران.

## مقدمه

پدیده‌ی آلودگی هوا یکی از مهمترین معضلات کلانشهرهای جهان است که علاوه بر ضررهای وارده بر محیط زیست و سلامت شهروندان، تأثیرات نامطلوب اجتماعی و اقتصادی فراوانی را تحمیل می‌نماید (Shahbazi et al, ۲۰۱۶). این پدیده یکی از ره‌آوردهای انقلاب صنعتی می‌باشد که از سه قرن قبل آغاز شده و با توسعه صنعتی شدن، افزایش جمعیت و گسترش بی‌رویه شهرها روز به روز بر میزان آن افزوده شده‌است (Tikuissis, et al, ۱۹۹۲). تکیه اساسی بر منابع جدید انرژی از قبیل نفت، گاز و زغال سنگ و در نتیجه آزاد شدن مواد ناشی از احتراق این مواد، فراورده‌های مضر و زیانبخش را به همراه می‌آورد که تهدید کننده‌ی حیات موجودات زنده، محیط زیست و به خصوص انسانها می‌باشد (Verschueren, ۲۰۰۱). گسترش شهرها، افزایش ترافیک، استفاده از سوخت نامطلوب، افزایش مصرف انرژی و عدم وجود مقررات و ضوابط کنترلی به منظور محدود ساختن مناطق صنعتی و عمل به مقررات زیست محیطی، باعث شده‌است تا سلامت عمومی در شهرها به علت کاهش قابل توجه کیفیت هوای شهری به مخاطره بیفتد (Rudolf, ۱۹۹۴). از آنجایی که هر فرد بالغ به طور معمول روزانه ۱۰ تا ۲۰ هزار لیتر هوا استنشاق می‌نماید بنابراین بدیهی است که وجود عوامل آلاینده به مقادیر غیرقابل قبول و فراتر از میزان استاندارد، می‌تواند زیانهای عمده‌ای را بر سلامت افراد وارد نماید (Penney, ۲۰۰۰). براساس طبقه‌بندیهای انجام شده در رابطه با آلاینده‌های معیار هوا (Criteria)، مونوکسید کربن یکی از مهمترین شش آلاینده‌ی خطرناک هوا (آزون، ذرات معلق، دی‌اکسید نیتروژن، دی‌اکسید گوگرد، سرب و مونوکسیدکربن) می‌باشد (Li et al, ۲۰۰۹). مونوکسیدکربن (Carbon monoxide) گازی بسیار سمی، بی‌رنگ، بی‌بو (به همین دلیل به سادگی با حواس طبیعی انسان قابل تشخیص نیست) و بسیار پایدار است که بر اثر سوختن ناقص کربن بوجود می‌آید و دارای زمان ماندگاری ۲ تا ۴ ماه در اتمسفر می‌باشد (Richard, ۲۰۱۲; Waring et al, ۲۰۰۷). این گاز با فرمول شیمیایی CO از اجزاء کمیاب تروپوسفر بوده و توسط فرآیندهای طبیعی و مصنوعی تولید می‌شود (Flachsbar, ۱۹۹۵). غلظت گاز CO در هوا در مقیاس ppm یا ppb (منظور تعداد مولکول گاز CO در یک میلیون یا یک میلیارد مولکول هوا) اندازه گیری می‌شود (Bascom, ۱۹۹۶). یافته‌های مربوط به روند جهانی CO، افزایش سالانه ۱ تا ۲ درصدی از این ماده را برای چندین دهه‌ی اخیر با غلظت زمینی جهانی بین ۵۰ ppb تا ۱۲۰ ppb نشان می‌دهند. غلظت‌های متوسط زمینی به طور فصلی تغییر نموده به طوری که غلظت‌های بالاتر در ماه‌های زمستان و مقادیر پایین‌تر در ماه‌های تابستان اتفاق می‌افتد. گرچه مونوکسیدکربن مستقیماً تغییر آب و هوا را ایجاد نمی‌کند ولی حضور آن بر فراوانی گازهای گلخانه‌ای مانند متان و دی‌اکسید کربن تأثیر می‌گذارد. منابع طبیعی و انسان‌ساخت هر دو در تشکیل مونوکسیدکربن اتمسفر سهیم هستند (Kanakidou et al ۱۹۹۹). به طور کلی منابع طبیعی در تولید مونوکسیدکربن نسبت به منابع انسان‌ساخت سهم بیشتری دارند (Martinie et al, ۲۰۱۱). علی‌رغم سهم کوچک منابع انسان‌ساخت در مقام مقایسه با انتشار جهانی مونوکسیدکربن، تأثیر آنها نیز نباید نادیده گرفته شود. زیرا منابع مصنوعی در مناطق بسیار کوچکی متمرکز شده‌اند (Cullis, ۱۹۸۶). برای مثال ۹۵-۹۸ درصد از مونوکسیدکربن اتمسفری در مناطق شهری در اثر فعالیت‌های انسانی حاصل می‌شود. بدیهی است حمل و نقل بیش از سایر فعالیت‌های انسانی (کارخانجات ذوب و پردازش فلزات، صنایع شیمیایی و زباله‌سوزها) در این امر نقش دارد (Guerova et al, ۲۰۰۶). در محیط‌های بسته، ژنراتورها، اجاق گازها، استفاده از هیزم یا چوب به عنوان سوخت در منازل مسکونی، مصرف توتون و تنباکو و هیترهای با سوخت کروزن از عوامل مولد مونوکسیدکربن به شمار می‌روند. به عنوان مثال

غلظت متوسط CO در اماکن فاقد اجاق گاز ppm ۵ - ۰/۵ و در اماکن با نصب صحیح اجاق گازها ppm ۱۵ - ۰/۵، در خانه‌های با نصب نادرست اجاق گازها ppm ۳۰ و بالاتر مشاهده شده‌است. این مقدار در برخی از کارگاه‌ها از ppm ۱۰۰ هم بیشتر می‌شود (Myhre et al, ۲۰۱۳). غلظت مونوکسیدکربن در خودروهای شخصی ۳-۲ برابر غلظت مشاهده شده در خیابان‌ها و متروها است. الگوی ترافیک، مدل ماشین و نگهداری از آن، وضعیت تهویه خودرو و فصل از عوامل موثر بر میزان مونوکسیدکربن در خودروها است. مطالعات بسیاری نشان می‌دهند که غلظت‌های بالای مونوکسیدکربن می‌توانند باعث تغییرات فیزیولوژیک و پاتولوژیک و نهایتاً مرگ شوند (Popovic, et al, ۲۰۰۹). مونوکسیدکربن یک ماده قابل استنشاق بسیار سمی و کشنده می‌باشد که بافت‌های بدن را از اکسیژن لازم بی‌نصیب نموده به طوری که مقادیر بسیار جزئی آن نیز باعث مرگ انسان می‌شود (Rsser et al, ۱۹۹۵). به طور کلی مونوکسیدکربن چهار نوع اثر مهم از قبیل اثرات قلبی و عروقی، اثرات مغزی و ایجاد ناهنجاری در رفتارهای عصبی، اثر فیبریونولیز و سقط جنین بر کارکردهای فیزیولوژیک انسان دارد. هیپوکسی که بوسیله مونوکسیدکربن ایجاد می‌شود منجر به نارسائی در اعمال حسی و اندام‌هایی چون مغز، قلب، جدار داخلی عروق خونی و پلاکت‌ها می‌شود (Ernst, ۱۹۹۹). با توجه به اینکه میل ترکیبی مونوکسیدکربن با هموگلوبین خون حدود ۲۲۰ برابر بیشتر از اکسیژن است، در محیط‌های آلوده، کربوکسی هموگلوبین خون (CoHb) به سرعت افزایش می‌یابد (Raub et al, ۲۰۰۰). با افزایش کربوکسی هموگلوبین به ۵ درصد، ظرفیت اکسیژن‌گیری بدن کاهش می‌یابد و تأثیر آن بر قلب به وضوح دیده می‌شود (Theilade et al, ۱۹۹۰). مطالعات نشان داده‌اند که اگر انسان به مدت یک ساعت با مونوکسیدکربن با غلظت ppm ۳۰ و یا به مدت هشت ساعت با غلظت ppm ۹ از این آلاینده در تماس باشد، کربوکسی هموگلوبین خون او به ۳/۱ درصد میرسد که سردرد و کاهش عملکرد مغزی را در پی خواهد داشت (Ait EI et al, ۲۰۰۹). میل ترکیبی کربن موجود در مونوکسیدکربن با هموگلوبین خون حدود ۲۰۰ برابر بیشتر از میل ترکیبی گاز اکسیژن است (Homer et al, ۲۰۰۵). گرچه در خون انسان حدود ۵ درصد مونوکسیدکربن وجود دارد اما اگر این مقدار به ۲۰ درصد برسد باعث مرگ خواهد شد (Di Maio et al, ۲۰۰۱). به همین دلیل مونوکسیدکربن قاتل نامرئی (شیطان سیاه) نامیده می‌شود. روش‌های متعددی برای مطالعه و سنجش آلاینده‌های هوا از جمله مونوکسیدکربن وجود دارد که از جمله مهمترین آنها می‌توان به روش‌های سنجش از دور (پایش اتمسفری مبتنی بر داده‌های ماهواره‌ای) اشاره کرد. از جمله سنجنده‌هایی که امکان پایش اتمسفری گاز مونوکسیدکربن را با توان تفکیک زمانی و طیفی بالا فراهم نموده است سنجنده‌ی AIRS مستقر بر روی ماهواره‌ی Aqua می‌باشد که علاوه بر کاربردهای متعدد، امکان سنجش و پایش گاز مونواکسید کربن را در یک فضای سه بعدی در مقیاس جهانی و کوچکتر فراهم نموده‌است (Susskind et al, ۲۰۱۰; McMillan et al, ۲۰۰۸; McMillan et al, ۲۰۰۸; Warner et al, ۲۰۱۰; Worden et al., ۲۰۱۳; Deeter et al, ۲۰۱۰; Yurganov et al, ۲۰۰۸). مطالعات متعددی با استفاده از داده‌های این سنجنده توسط برخی از محققین خارجی انجام شده‌است که از جمله‌ی آنها می‌توان به بررسی روند انتشار گاز CO، تفکیک سهم گاز CO از دیگر گازهای گلخانه‌ای، تأثیر گاز CO بر کیفیت هوا و روند تغییرات زمانی - مکانی این گاز اشاره نمود. نتایج دریافتی حاصل از روش‌های مذکور، در مقایسه با دیگر روش‌ها از دقت بسیار بالاتری برخوردار بوده‌است (Pfister et al., ۲۰۰۵; Arellano et al., ۲۰۰۶; Maddy et al, ۲۰۰۸; Kopacz et al., ۲۰۱۰). همچنین از داده‌های این سنجنده مطالعات متعدد دیگری در زمینه‌ی هوا، اقلیم و کیفیت هوا ارائه شده‌است که به علت تعدد بالای آنها صرفاً" به ذکر برخی از آنها (Aumann et al, ۲۰۰۵; Bowman et al., ۲۰۰۶; De Souza et

al., ۲۰۱۰; De Souza et al., ۲۰۱۸; Maddy et al., ۲۰۱۲; Wong et al., ۲۰۱۵; Dang et al., ۲۰۱۳ Yue, et al., ۲۰۱۸; Irion et al., ۲۰۱۳b) اشاره شده است. امروزه تکنیک‌های موثری برای برآورد و پایش آلودگی هوا منجمله مونوکسیدکربن با استفاده از داده‌های ماهواره‌ای طراحی و فراهم شده و سنجنده‌های متفاوتی از جمله: TES IMG, MOPITT, TOMS, OMI, AIRS, IASI و ... مورد استفاده قرار گرفتند. گرچه تاکنون در زمینه‌ی بررسی مونوکسیدکربن در ایران مطالعاتی انجام گردید، اما غالب مطالعات انجام شده مبتنی بر داده‌های ایستگاهی (نقطه‌ای) بوده و در هیچ کدام از آنها به بررسی این آلاینده در کل گستره‌ی ایران با استفاده از داده‌های ماهواره‌ای و تکنیک‌های مبتنی بر سنجش از دور پرداخته نشده است. بنابراین هدف از انجام این تحقیق بررسی پراکنش مکانی - زمانی گاز مونوکسیدکربن در اتمسفر ایران با استفاده از داده‌های Aqua/AIRS برای آگاهی از وضعیت آن طی دوره‌ی آماری (۲۰۱۸ - ۲۰۰۳) می‌باشد.

### داده‌ها و روش کار

گاز مونوکسیدکربن فراوان‌ترین آلاینده در اتمسفر پایین می‌باشد. کشور ایران نیز از این پدیده مصون نبوده به طوری که از شایع‌ترین علل مرگ‌ومیر در ایران (بخصوص کلانشهرها) محسوب می‌شود. بر اساس تحقیقات به عمل آمده میزان مونوکسیدکربن با غلظت‌های موجود تأثیر نامطلوبی بر سلامت انسان در کلانشهرهای ایران دارد. این گاز در بازه‌ی زمانی ۱۳۸۶ تا ۱۳۹۵ تعداد ۷۶۵۷ نفر را به طور مستقیم (ناشی از خفگی) و چندین برابر را به صورت غیرمستقیم (بیماران قلبی، عروقی و ریوی) به کام مرگ کشانده است که در این میان بیشترین میزان مربوط به شهرهای تهران، مشهد و اصفهان بوده است. از سویی دیگر این گاز دارای یک اثر غیرمستقیم تابشی می‌باشد که از طریق واکنش‌های شیمیایی با دیگر اجزای جوی، مقادیر آزن اتمسفر زمین را تخریب می‌کند. همچنین در اثر فرآیندهای طبیعی در جو، نهایتاً به دی‌اکسید کربن تبدیل می‌شود که می‌تواند اثر گلخانه‌ای جو را تشدید نماید. سنجنده‌ی AIRS، یکی از ابزارهایی می‌باشد که با هدف کمک به محققین تغییر اقلیم و بهبود پیش‌بینی وضعیت هوا ساخته شده است. این سنجنده یکی از شش سنجنده‌ی ماهواره‌ی Aqua است که در سال ۲۰۰۲ در مدار زمین قرار گرفت از آن زمان تاکنون متغیرهای متعددی از جمله داده‌های مونوکسیدکربن جهانی را تولید و عرضه می‌نماید. داده‌های مونوکسیدکربن با استفاده از اتمسفرسنج مادون قرمز (AIRS) ناسا که در ماهواره Aqua قرار دارد جمع‌آوری شده و به صورت روزانه ارائه می‌گردد. این سنجنده بازیابی مونوکسیدکربن را در شرایط ابری و در باند ۱۵ میکرون با پوشش جهانی فراهم می‌نماید. سنجنده‌ی AIRS از بازه‌ی طیفی بسیار گسترده‌ای برخوردار بوده است که قدرت تفکیک آن دهها برابر بیشتر از ابزارهای مشابه قبل از خود می‌باشد. قدرت تفکیک افقی این سنجنده برابر با ۱۳.۵ کیلومتر در نقطه نادیر و قدرت تفکیک عمودی یا قائم آن ۱ کیلومتر می‌باشد (جدول ۱). فراسنجهای مشاهداتی توسط این سنجنده در راستای دید ماهواره و در دو عبور بالارو (Ascending) و پایین‌رو (Descending) دریافت می‌گردند. در این تحقیق نیز از داده‌های این سنجنده (AIRS/Aqua L<sup>3</sup> Monthly Standard Physical Retrieval (AIRS-only) V۰۰۶) که مشخصات آن در جدول شماره ۱ آمده است و از وبگاه [https://disc.gsfc.nasa.gov/datasets/AIRS%STM\\_006](https://disc.gsfc.nasa.gov/datasets/AIRS%STM_006) قابل دریافت می‌باشد استفاده شده است. داده‌های مورد نیاز با فرمت NetCDF استخراج گردید که پس از کنترل کیفی و پیش‌پردازش، توسط دو نرم افزار کاربردی ArcGIS و

Grads مورد پردازش قرار گرفته است. NetCDF یا فرمت nc فرمتی از داده‌ها برای نگهداری داده‌های چندبُعدی می‌باشد که با استفاده از امکاناتی که نرم‌افزار ArcGIS و Grads در اختیار کاربر قرار می‌دهد، برای ساخت لایه‌های رستری، وکتوری و جداول اطلاعاتی به کار گرفته می‌شوند. در این تحقیق نیز از پردوداکت‌های آماده‌ی مونوکسیدکربن که به صورت روزانه توسط سنجنده‌ی AIRS ارائه می‌گردد استفاده شد. داده‌های مورد استفاده به صورت رقمی بوده و مقادیر آنها ارزش عددی میزان مونوکسیدکربن به ازای هر پیکسل بوده است. داده‌ها با انتقال به محیط GIS و اعمال الگوریتم‌های لازم تبدیل به داده‌های رستری شده و خروجی‌های لازم بر اساس مرز جغرافیایی کشور ایران استخراج شده است. شدت و ضعف رنگها (درجات مختلف شدت روشنایی) بیانگر متفاوت بودن مقادیر مونوکسیدکربن در پیکسل‌های واقع در محدوده‌ی منطقه‌ی مورد مطالعه می‌باشد. سریهای زمانی مورد استفاده ماهها و فصول میلادی بوده است که میانگین ماهانه از میانگین میزان مونوکسیدکربن روزانه‌ی متعلق به هر ماه و میانگین فصلی از میانگین سه ماه مربوط به هر فصل برای کل گستره‌ی ایران منتج شده است. به لحاظ فضایی نیز مقادیر هر پیکسل بیانگر شرایط میانگین میزان مونوکسیدکربن در طول دوره‌ی آماری (۲۰۱۸ - ۲۰۰۳) بوده است که سعی گردید جهت درک هرچه بهتر رفتار زمانی - مکانی این فراسنج در اتمسفر ایران، نتایج به صورت تصاویر، گراف، نمودار و نمایه‌های قائم ارائه شود.

جدول ۱: مشخصات فنی و رزولوشن داده‌های سنجنده‌ی AIRS

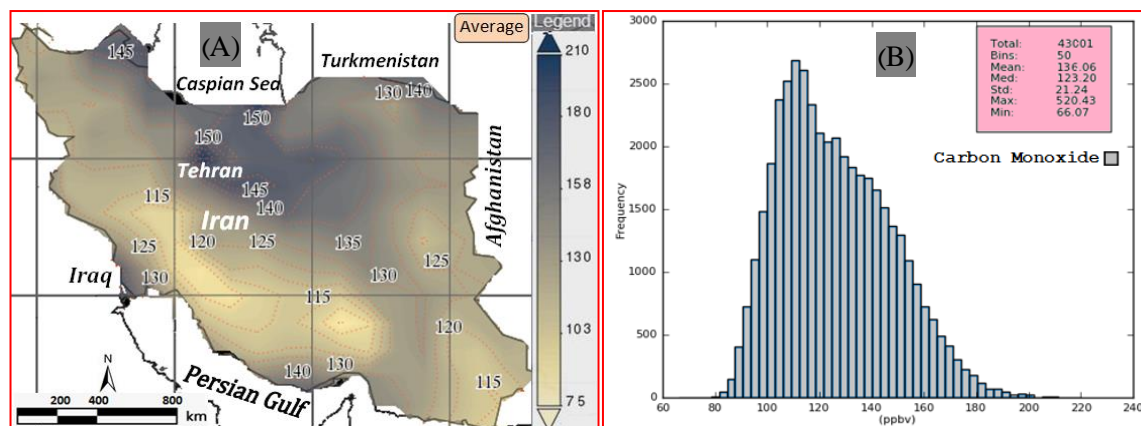
Short name	AIRS <sup>۳</sup> STM
Version	۰۰۶
Format	NetCDF HDF-EOS
DOI	۱۰,۵۰۶۷/Aqua/AIRS/DATA <sup>۳۲۱</sup>
Spatial Coverage	-۱۸۰,۰,۰-۹۰,۰,۱۸۰,۰,۰,۹۰,۰
Temporal Coverage	۲۰۰۲-۰۹-۰۱ to Present
Data Resolution Spatial	۱۳.۵ km at horizontal at nadir, ۱ km vertical
Data Resolution Temporal	Daily and Monthly

### شرح و تفسیر نتایج

#### • توزیع مکانی مونوکسیدکربن

برخی از پارامترهای آماری (توصیفی) فراسنج مونوکسیدکربن در گستره‌ی جغرافیایی کشور ایران (۲۰۱۸ - ۲۰۰۳) در شکل شماره‌ی ۱ مشخص شده است. همان طوری که شکل مورد نظر نشان می‌دهد، میانگین پراکندگی (توزیع) مونوکسیدکربن سطحی در تروپوسفر تحتانی (مجاور سطح زمین) ایران از جنوب به شمال افزایش می‌یابد. البته در این میان سلسله جبال زاگرس این نظم را برهم زده و یک شرایط استثنائی را به وجود آورده است به طوری که کمترین میزان تراکم مونوکسیدکربن سطحی با میانگین بلندمدت (۲۰۱۸ - ۲۰۰۳) کمتر از ۱۱۵ ppb بر روی این ناحیه جغرافیایی (ارتفاعات زاگرس) مشاهده شده است. از طرفی دیگر، بیشترین توزیع مونوکسیدکربن در شمال کشور ایران با میانگین بیشتر از ۱۵۰ ppb (بر فراز شهر تهران و ناحیه ساحلی دریای خزر) مشاهده گردید. همچنین براساس پردازشهای آماری صورت گرفته، میانگین مونوکسیدکربن در طول دوره‌ی آماری مورد نظر ۱۳۶ ppb برآورد شده است که در این میان، بیشترین میزان مونوکسیدکربن مشاهده شده ۵۲۰ ppb و کمترین مقدار آن ۶۶ ppb با مقدار انحراف معیار ۲۱/۲ بوده است. نتایج حاصله به خوبی بیانگر بیشترین میزان تمرکز مونوکسیدکربن بر روی شهر تهران و انتشار

آن تا شعاع چندین کیلومتری می باشد. شهر تهران با عنوان پایتخت کشور ایران با مساحتی حدود ۸۰۰ کیلومتر مربع در دامنه‌ی جنوبی کوههای البرز واقع شده که براساس مطالعات و گزارشات ارائه شده یکی از آلوده‌ترین شهرهای جهان به شمار می‌رود. البته در این میان سهم مونوکسیدکربن بیش از دیگر آلاینده‌ها می‌باشد. در پاسخ به این سؤال که دلیل بیشترین تمرکز گاز مونوکسیدکربن به عنوان یکی از آلاینده‌های معیار هوا بر فراز شهر تهران چه می‌باشد؟ می‌توان گفت: عوامل متعددی در بالا بودن میزان مونوکسیدکربن بر فراز شهر تهران دخالت دارند که به نظر می‌رسد از میان آنها عوامل جغرافیایی از اهمیت بیشتری برخوردار می‌باشند. استقرار شهر تهران در محیطی نیمه محصور در دامنه‌ی جنوبی ارتفاعات البرز باعث می‌گردد تا کوههای البرز در شمال و شرق آن همانند سدی از گذر بادهای غربی جلوگیری نموده و شرایط را برای ماندگاری و تداوم آلاینده‌ها (مونوکسیدکربن) فراهم آورد. از سویی دیگر در برخی از ایام سرد سال، حاکمیت شرایط وارونگی (پدیده‌ی اینورژن) و استقرار مداوم سیستم‌های پرفشار در طول سال، از دیگر ویژگیهای طبیعی منطقه هستند که شرایط را برای آلودگی هر چه بیشتر هوای شهر تهران و نواحی پیرامونی آن فراهم می‌آورد. علاوه بر عوامل طبیعی ذکر شده، عوامل انسانی مانند تمرکز بالای جمعیت (۱۴ میلیون نفر معال ۱۷٪ درصد از جمعیت کل کشور)، بالا بودن تعداد خودروها (اغلب فرسوده) و ترافیک زیاد، استقرار کارخانه‌ها و صنایع در سطح شهر و بویژه در غرب و جنوب غرب آن، بر میزان آلودگی هوای شهر تهران افزوده و تمرکز مونوکسیدکربن را در این ناحیه به شدت افزایش می‌دهد. در اولویت بعدی، ناحیه ساحلی شمال ایران که شامل استانهای مازندران، گیلان و گلستان می‌باشد، به علت برخورداری از شرایط مناسب آب و هوایی از تراکم بالای جمعیت (بیش از ۱۵۰ نفر در هر کیلومتر مربع) برخوردار می‌باشد. علاوه بر تمرکز بالای جمعیت، قرار گرفتن این ناحیه به عنوان یکی از مناطق هدف گردشگری در اغلب ایام سال و بخصوص ایام تعطیلات، شرایط را برای حجم بالای ترافیک در این ناحیه به دنبال داشته و می‌تواند نقش فزاینده‌ای را در افزایش میزان مونوکسیدکربن در ناحیه ساحلی شمال ایران ایفا نماید.

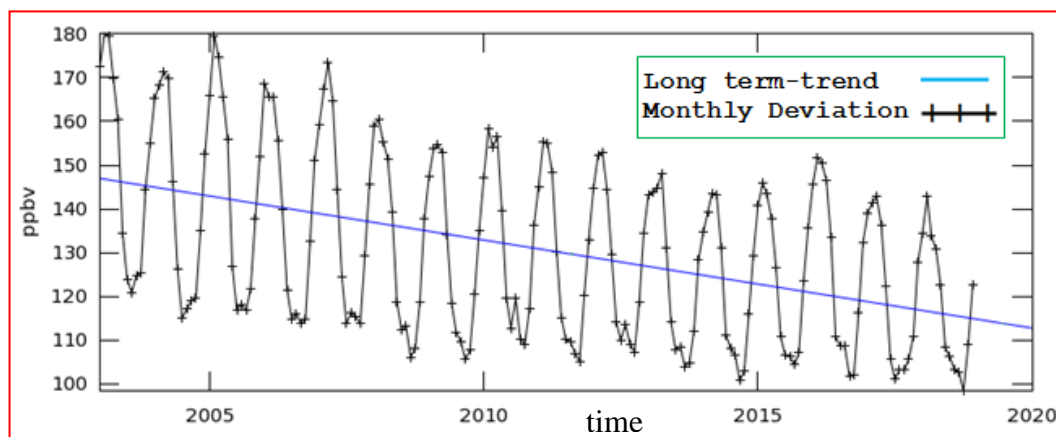


شکل ۱: (A) توزیع مکانی مونوکسید کربن سطحی و (B) توصیف آماری توزیع مونوکسید کربن سطحی و (۲۰۱۸ - ۲۰۰۳)

#### • تغییرات سری زمانی مونوکسیدکربن

شکل ۲ گراف سری زمانی ماهانه‌ی مونوکسیدکربن را در بازه‌ی زمانی ۲۰۰۳ تا ۲۰۱۸ نشان می‌دهد. بر اساس این گراف بیشترین میزان مونوکسیدکربن سطحی مربوط به ماههای دوره‌ی سرد سال (ماههای ژانویه، فوریه و مارس) و کمترین میزان تمرکز مونوکسیدکربن سطحی مربوط به ماههای دوره‌ی گرم سال (ماههای آگوست، سپتامبر و اکتبر)

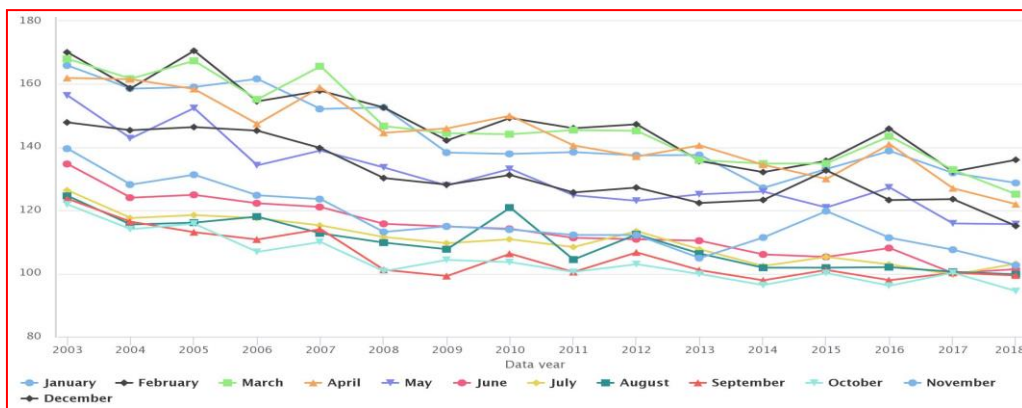
می باشد. همچنین بر اساس این گراف، روند میزان مونوکسیدکربن در گستره‌ی تروپوسفر سطحی ایران از سیری کاهشی برخوردار بوده است به طوری که میانگین ماهانه‌ی مونوکسیدکربن سطحی در تروپوسفر ایران از ۱۴۷ ppb در سال ۲۰۰۳ به ۱۰۰ ppb در سال ۲۰۱۸ رسیده است. بدین مفهوم که از سال ۲۰۰۳ تا ۲۰۱۸ از میزان مونوکسیدکربن تروپوسفر سطحی ایران ۴۷ ppb (حدود ۳۰٪) کاسته شده است. بنابراین براساس این نتایج هر چه از اوایل دوره‌ی آماری (سال ۲۰۰۱) به سمت سالهای آخر دوره آماری (۲۰۱۸) حرکت می‌نمائیم از میزان مونوکسیدکربن سطحی در تروپوسفر تحتانی کشور ایران کاسته شده است به طوری که میزان مونوکسیدکربن سطحی در سال ۲۰۰۳ از مقادیری بین حداکثر مقدار ماهانه‌ی ۲۲۰ ppb تا حداقل مقدار ماهانه‌ی ۱۲۵ ppb به مقادیری بین حداکثر مقدار ماهانه‌ی ۱۴۰ ppb تا حداقل مقدار ماهانه‌ی ۸۰ ppb کاهش یافته است. این وضعیت به خوبی روند کاهشی میزان مونوکسیدکربن را در تروپوسفر سطحی ایران نشان می‌دهد. از جمله دلایل کاهش میزان مونوکسیدکربن سطحی تروپوسفر ایران در طی دوره‌ی آماری، می‌توان به تجهیز ناوگان حمل و نقل، افزایش کیفیت سوخت، اعمال طرحهای کنترلی برای کنترل ترافیک، ارتقای سیستمهای گرمایشی، ارتقای سوختهای صنایع و کارخانجات اشاره نمود.



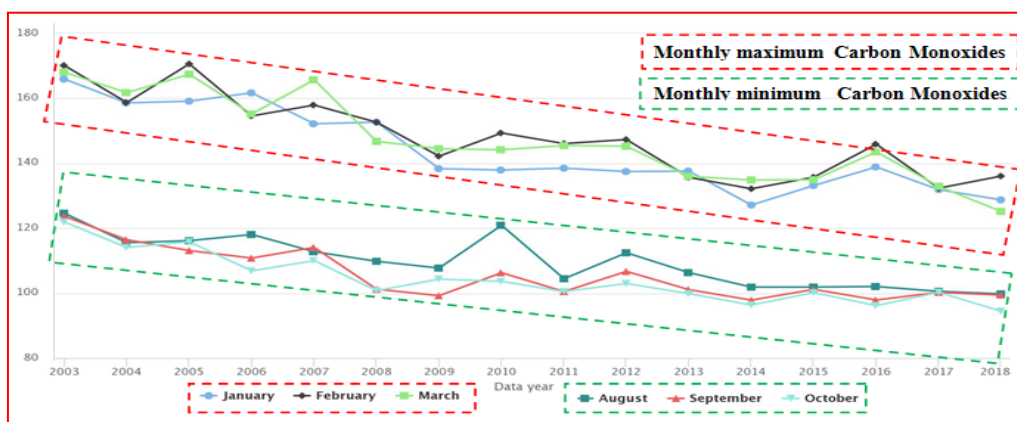
شکل ۲: تغییرات و روند سالانه‌ی مونوکسید کربن سطحی بر حسب میانگین ماهانه بر فراز کشور ایران (۲۰۰۳ - ۲۰۱۸)

#### • تغییرات ماهانه و فصلی مونوکسیدکربن

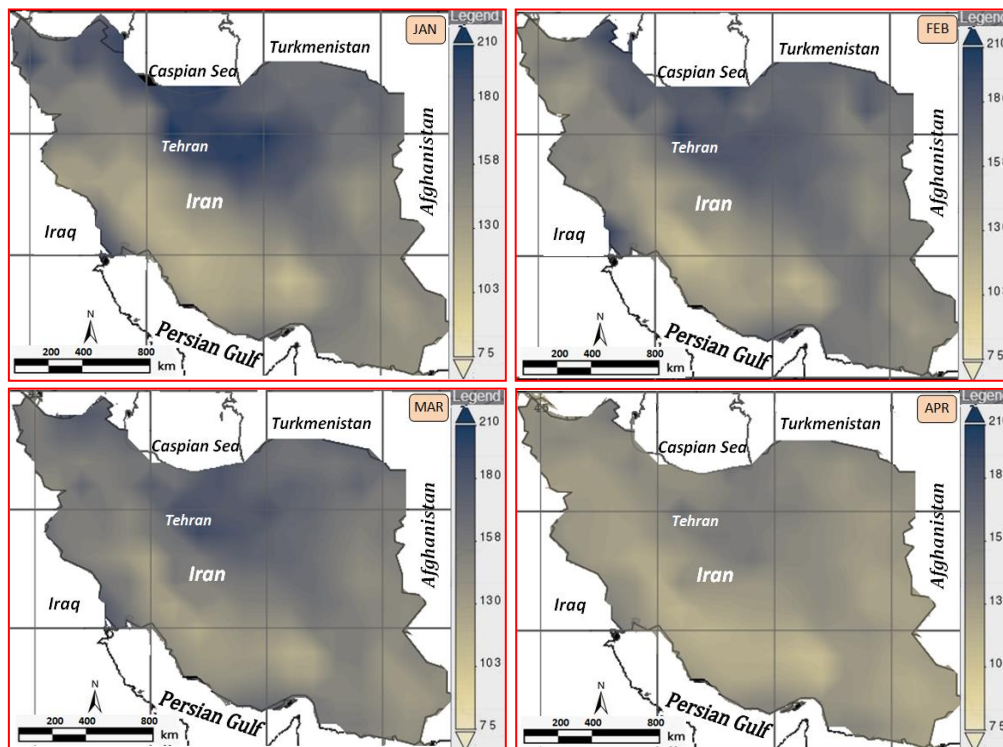
اشکال شماره‌ی ۳ و ۴ سریهای زمانی میانگین ماهانه‌ی مونوکسیدکربن را در تروپوسفر سطحی ایران نشان می‌دهد. براساس این اشکال، بیشترین میزان مونوکسیدکربن ماهانه به ترتیب شامل ماههای ژانویه، فوریه و مارس (ماههای سرد سال)، و کمترین میزان آن در ماههای آگوست، سپتامبر و اکتبر (ماههای گرم سال) مشاهده شده است. میزان مونوکسیدکربن در دیگر ماههای سال از قبیل آوریل، می، ژوئن، ژولای، نوامبر و دسامبر در حدفاصل ماههای بیشینه و کمینه فوق قرار دارند (اشکال ۵ تا ۷). در این میان می‌توان به مقادیر بیشینه‌ی مونوکسیدکربن در ژانویه و فوریه ۲۰۰۳ (بیش از ۱۸۰ ppb) و کمینه‌ی مونوکسیدکربن در ماههای ژولای و آگوست ۲۰۱۸ (۱۰۰ ppb و کمتر از آن) اشاره کرد. اما به طور کلی، گرافهای مربوط به مقادیر ماهانه، روند کاهشی میزان مونوکسیدکربن را برای تمامی ماههای مورد مطالعه‌ی نشان می‌دهد. بنابراین می‌توان گفت راهکارهای مدیتی سالهای اخیر که در راستای کاهش آلودگی کشور ایران و بخصوص کلانشهرهای آن اتخاذ گردید نتایج قابل قبولی داشته است که از جمله پیامدهای مثبت و امیدوار کننده‌ی آن می‌توان به کاهش چشمگیر گاز آلاینده‌ی مونوکسیدکربن در سطح ایران اشاره کرد.



شکل ۳: میانگین ماهانه‌ی مونوکسید کربن سطحی بر فراز ایران (۲۰۰۳ - ۲۰۱۸)

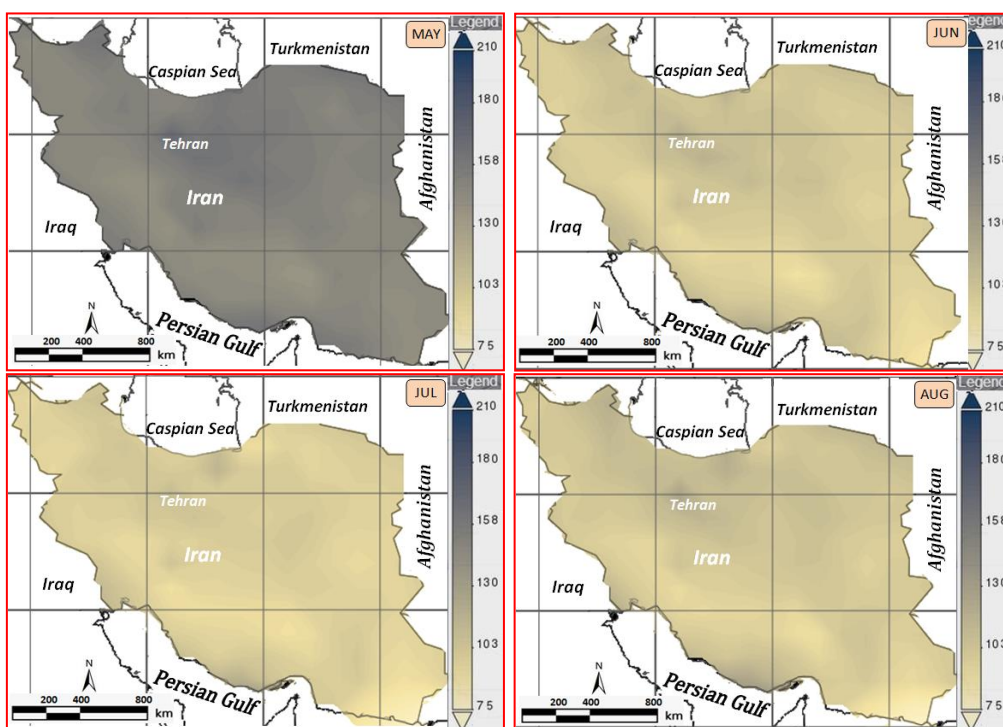


شکل ۴: سری زمانی توزیع مونوکسید کربن در ماههای بیشینه و کمینه بر فراز ایران (۲۰۰۳ - ۲۰۱۷)

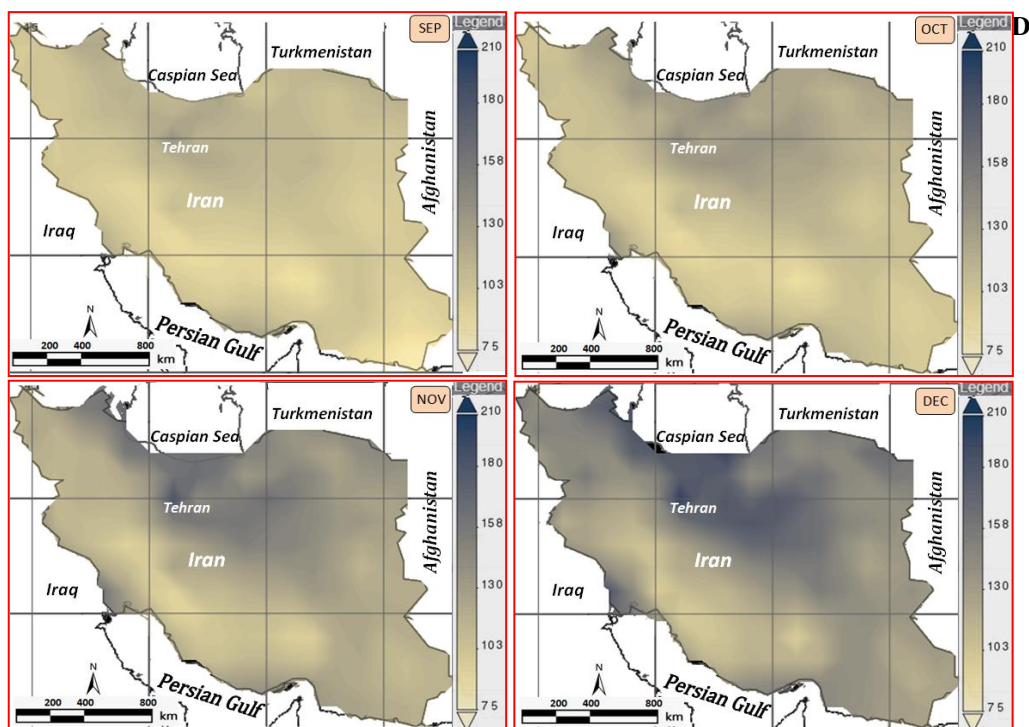


شکل ۵: توزیع مکانی مونوکسید کربن سطحی در ماههای مختلف بر فراز ایران (A): ژانویه، (B): فوریه، (C): مارس، (D): آوریل.





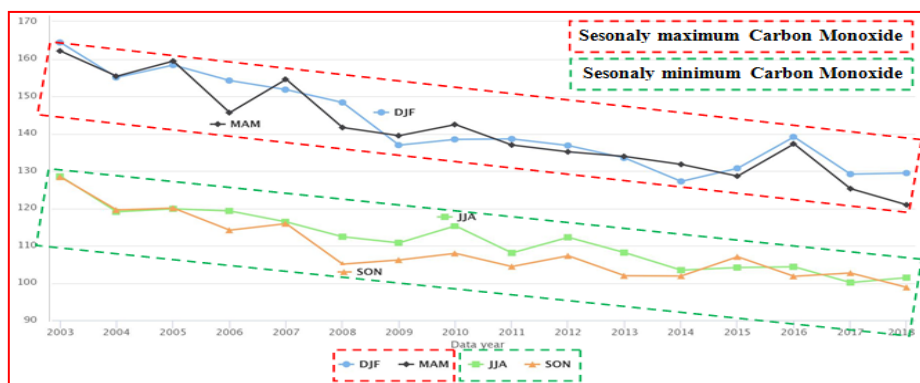
شکل ۶: توزیع مکانی مونوکسید کربن سطحی در ماههای مختلف بر فراز ایران (A): می، (B): ژوئن، (C): ژوئیه،



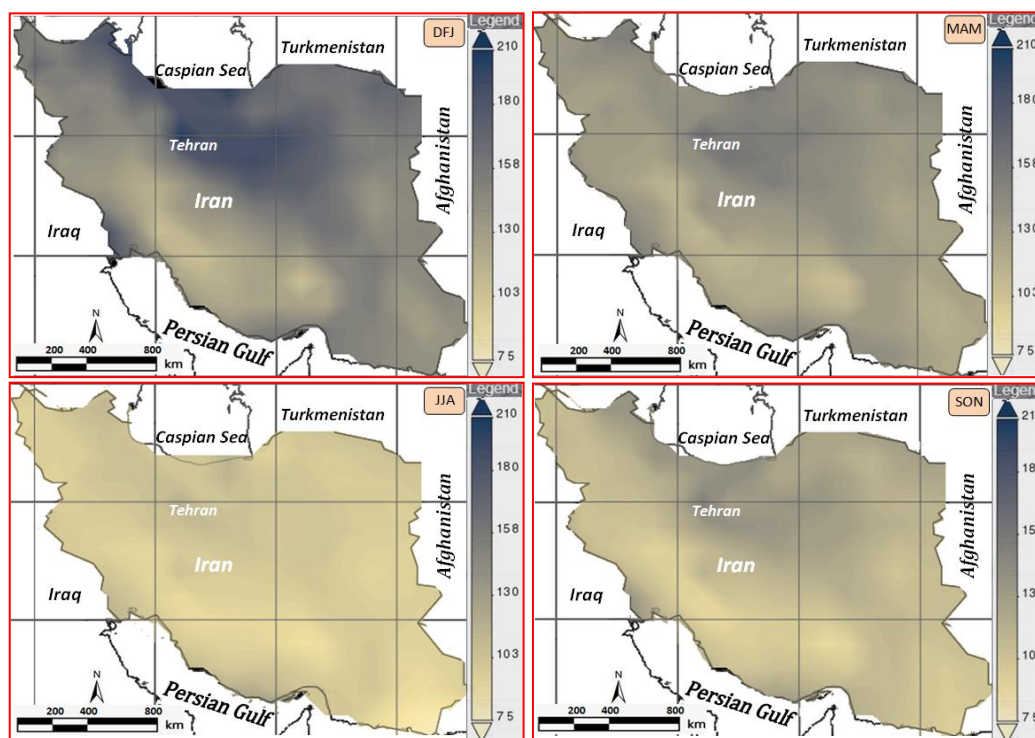
شکل ۷: توزیع مکانی مونوکسید کربن سطحی در ماههای مختلف بر فراز ایران (A): سپتامبر، (B): اکتبر، (C): نوامبر، (D): دسامبر.

آنالیز حاصل از داده‌های آماری مونوکسیدکربن در فصول چهارگانه ایران نیز، بیانگر بیشترین میزان مونوکسیدکربن سطحی در فصل زمستان (ماههای ژانویه، فوریه و مارس) و کمترین میزان آن مربوط به فصل تابستان (آگوست، سپتامبر و اکتبر) بوده‌است. همان طوری که در مباحث بالا نیز اشاره گردید، از جمله مهمترین عوامل اقلیمی

(جغرافیایی) موثر در افزایش میزان مونوکسید کربن در دوره سرد سال، می توان به وارونگی های دمایی اشاره کرد که به دو صورت تابشی و سینوپتیکی ایجاد می شوند. وارونگی های تابشی بر اثر سرد شدن شدید سطح زمین و وارونگی های سینوپتیکی عمدتاً بر اثر استقرار سیستم های پرفشار پایدار جوی تشکیل می شوند. هر دو پدیده از ویژگی های اصلی شرایط آب و هوایی ایران در دوره سرد سال می باشند. علاوه بر موارد مطرح شده، از دیگر عوامل موثر بر افزایش میزان مونوکسیدکربن در این دوره از سال، می توان به بالا بودن حجم ترافیک (به دلیل باز بودن مدارس، دانشگاهها و ادارات)، افزایش میزان مصرف سوخت های فسیلی برای تأمین گرمایش فضا های مسکونی، اداری، آموزشی و بهداشتی اشاره کرد. این نتایج با بیشینه و کمینه ی مونوکسیدکربن فصلی در پهنه ی جهانی کاملاً منطبق می باشد. اشکال شماره ی ۸ و ۹ میزان مونوکسیدکربن را برای فصول بهار (MAM)، تابستان (JJA)، پاییز (SON) و زمستان (DJF) نشان می دهد. براساس این اشکال میزان مونوکسیدکربن سطحی فصلی به ترتیب از بیشترین میزان به کمترین میزان شامل فصول زمستان (DJF)، بهار (MAM)، پاییز (SON) و تابستان (JJA) می باشد.



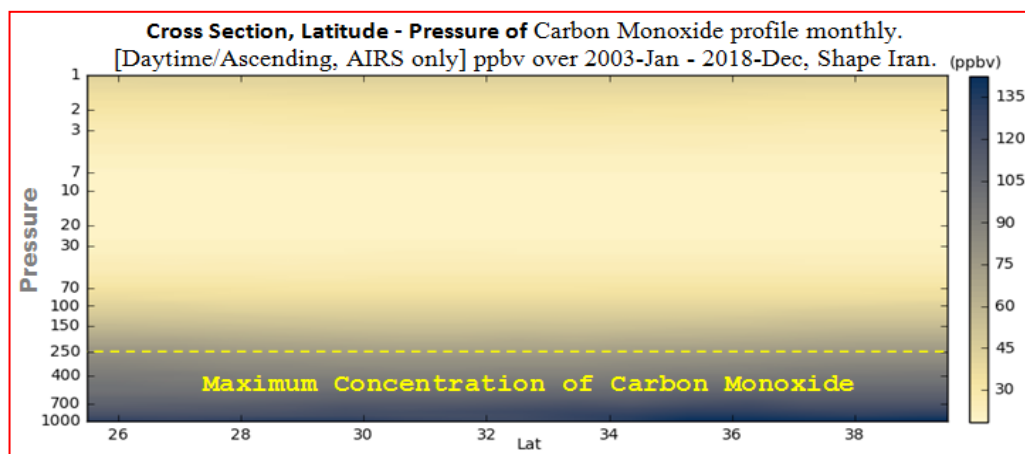
شکل ۸: سری زمانی تغییرات فصلی مونوکسید کربن سطحی بر فراز ایران (۲۰۰۳ - ۲۰۱۸)



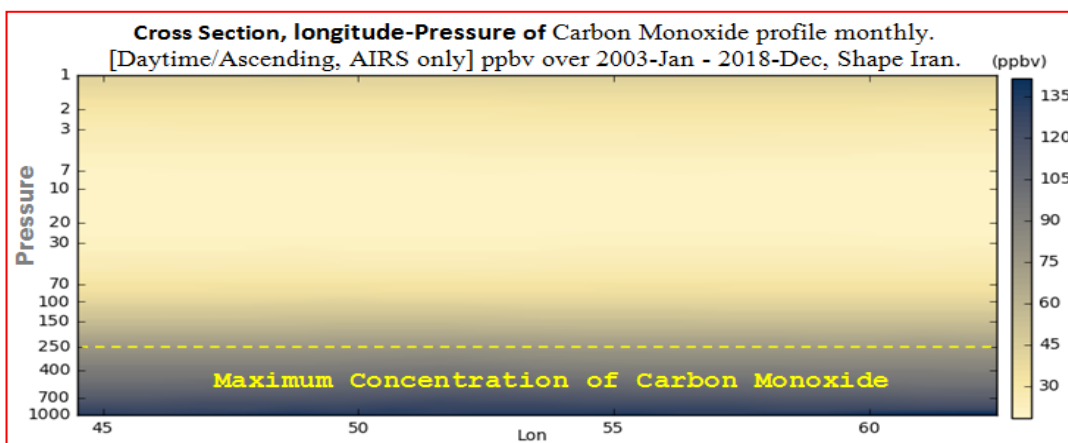
شکل ۹: توزیع مکانی مونوکسید کربن سطحی در فصول مختلف بر فراز ایران (A): زمستان، (B): بهار، (C): تابستان، (D): پاییز.

### • ارزیابی توزیع قائم میزان مونوکسیدکربن

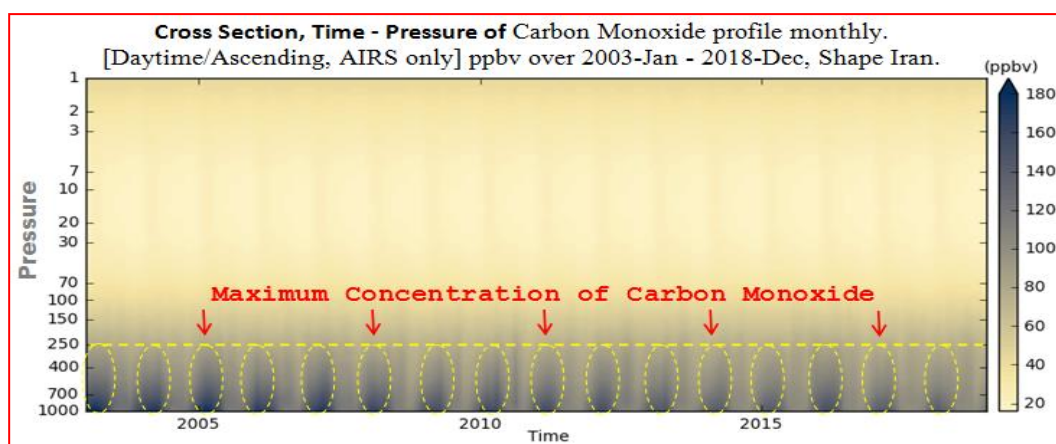
اندازه‌گیری میزان مونوکسیدکربن تروپوسفر ایران در راستای قائم جو که در واقع نشان دهنده‌ی توزیع عمودی مونوکسیدکربن موجود در جو می‌باشد، با استفاده از پروفیل‌های قائم در راستای طول و عرض جغرافیایی بارزسازی شده‌است. نتایج حاصل از این پیمایش‌های قائم جوی به خوبی تبیین‌کننده‌ی توزیع و تغییرات عمودی مونوکسیدکربن در اتمسفر ایران می‌باشد. شکل شماره‌ی ۱۰ مربوط به توزیع قائم مونوکسیدکربن در امتداد عرض جغرافیایی و در راستای ترازهای ۱۴ گانه فشار هوا بر حسب هکتوپاسکال (ترازهای ۱۰۰۰، ۷۰۰، ۴۰۰، ۲۵۰، ۱۵۰، ۱۴۰۰، ۷۰، ۳۰، ۲۰، ۱۰، ۷، ۳، ۲، ۱ هکتوپاسکال) می‌باشد. براساس این شکل، حداکثر تراکم مونوکسیدکربن در اتمسفر ایران در تراز سطحی بوده و با کاهشی تدریجی تا تراز ۲۵۰ هکتوپاسکال (محدوده زیر خط زرد منقطع) امتداد می‌یابد. بدین مفهوم که هرچه از ترازهای تحتانی جو به سمت ترازهای فوقانی حرکت نمائیم میزان مونوکسیدکربن کاهش یافته به طوری که در بالاترین تراز مورد مطالعه (تراز ۱ هکتوپاسکال) به حداقل مقدار ممکن می‌رسد. در این میان بیشترین تراکم مونوکسیدکربن در تراز ۱۰۰۰ هکتوپاسکال و درحالی‌عرض ۳۵ درجه شمالی مشاهده می‌شود که منطبق بر عرض جغرافیایی شهر تهران (بزرگترین کلانشهر کشور ایران) می‌باشد (اشکال شماره‌ی ۱۰ و ۱۳A). توزیع عمودی مونوکسیدکربن موجود در اتمسفر ایران در راستای طول جغرافیایی نیز بیانگر تراکم مونوکسیدکربن در ترازهای تحتانی تروپوسفر (محدوده‌ی زیر خط زرد منقطع) می‌باشد که تقریباً شرایط مشابهی را با توزیع مونوکسیدکربن اتمسفر ایران در امتداد عرض جغرافیایی نشان می‌دهد. در این میان نیز بیشینه‌ی چگالی مونوکسیدکربن منطبق بر طول جغرافیایی کلانشهر تهران می‌باشد. همچنین سری زمانی پیمایش قائم لایه‌ی مونوکسیدکربن طی دوره‌ی آماری مورد مطالعه به خوبی از کاهش تدریجی میزان مونوکسیدکربن حکایت دارد به طوری که بیشترین میزان مونوکسیدکربن در ۵ سال اول دوره‌ی آماری (۲۰۰۷ - ۲۰۰۳) مشاهده شده و هر چه به سالهای آخر دوره‌ی آماری نزدیک می‌شویم از چگالی لایه‌ی مونوکسیدکربن کاسته شده‌است. در این پروفیل نیز در تمامی سالهای آماری، بیشترین تمرکز گرد و غبار مربوط به ماههای دوره‌ی سرد سال (بیضویه‌های زردرنگ) و کمترین میزان آن مربوط به ماههای دوره‌ی گرم سال می‌باشد که در شکل مربوطه (شکل ۱۲) به خوبی مشهود می‌باشد.



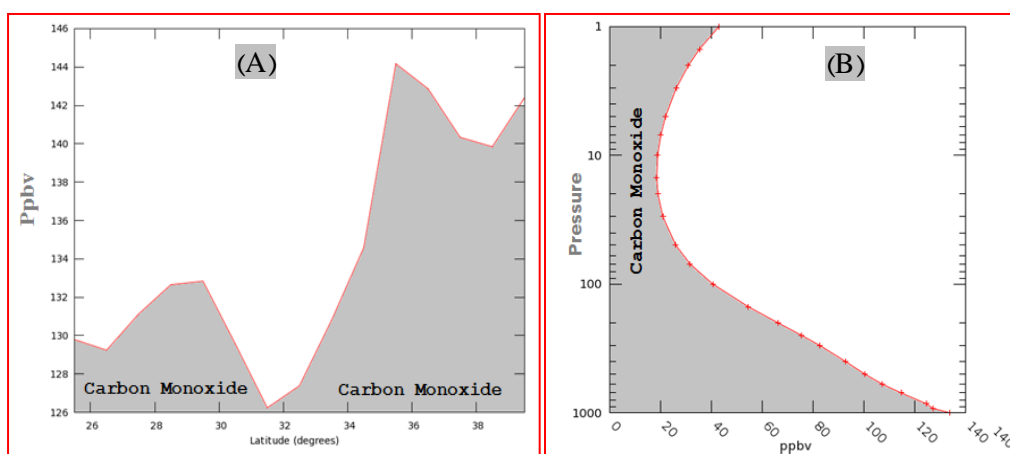
شکل ۱۰: نمایه‌ی قائم توزیع مونوکسید کربن در امتداد عرض جغرافیایی بر فراز ایران (۲۰۰۳ - ۲۰۱۸)



شکل ۱۱: نمایه قائم توزیع مونوکسید کربن در امتداد طول جغرافیایی بر فراز ایران (۲۰۰۳ - ۲۰۱۸)



شکل ۱۲: نمایه قائم سری زمانی توزیع مونوکسید کربن بر فراز ایران (۲۰۰۳ - ۲۰۱۸)



شکل ۱۳: میانگین مداری توزیع مونوکسید کربن بر فراز ایران (A) و پروفیل قائم توزیع مونوکسید کربن در امتداد تراز عمودی ارتفاع ژئوپتانسیل بر فراز ایران (B) - طی دوره آماری (۲۰۰۳ - ۲۰۱۸)

## نتیجه گیری

در این تحقیق به بررسی پراکندگی مکانی - زمانی گاز مونوکسیدکربن در اتمسفر ایران با استفاده از داده‌های سنجندهی ابرطیفی AIRS مستقر بر روی ماهواره Aqua که به صورت تخصصی برای آشکارسازی تغییرات مونوکسیدکربن اتمسفری طراحی گردیده پرداخته شده‌است. نتایج حاصله به خوبی تصویر روشنی از وضعیت پراکندگی گاز مونوکسیدکربن را در راستای افقی و قائم اتمسفر ایران نشان داده‌است. براساس نتایج به دست آمده از داده‌های ماهانهی مونوکسیدکربن جمع‌آوری شده مربوط به دورهی آماری (۲۰۱۸ - ۲۰۰۳) که در یک فضای سه بعدی و ناحیه‌ای به وسعت محدودهی جغرافیایی کشور ایران به انجام رسیده‌است، میانگین مونوکسیدکربن سطحی از بیش از ۱۵۰ ppb بر فراز کلانشهر تهران و سواحل شمال ایران تا به کمتر از ۱۵ ppb بر روی ارتفاعات زاگرس متغیر می‌باشد. در این دورهی آماری میانگین مونوکسیدکربن سطحی در اتمسفر ایران ۱۳۶ ppb (۴ ppb) کمتر از میانگین جهانی مونوکسیدکربن، بیشینهی مونوکسیدکربن کلی ستونی ۵۲۰ ppb و کمینهی آن ۶۶ ppb بوده‌است. از دیگر نتایج به دست آمده می‌توان به تفاوت‌های چشمگیر در میان میانگین ماهانهی مونوکسیدکربن در تروپوسفر سطحی ایران اشاره کرد به طوری که در میان ماههای دوازده گانه، بیشترین میزان مونوکسیدکربن در ماههای سرد سال و کمترین میزان آن به ترتیب در ماههای گرم سال مشاهده شده‌است. به لحاظ فصلی نیز بیشترین میزان مونوکسیدکربن فصلی در فصل زمستان و کمترین میزان فصلی آن در فصل تابستان اتفاق افتاده‌است. داده‌های حاصل از پروفیل‌های قائم (نمایه‌ی قائم) تغییرات مونوکسیدکربن در اتمسفر ایران در راستای طول و عرض جغرافیایی، نشان دهندهی حداکثر تراکم مونوکسیدکربن در ترازهای پایینی جو می‌باشد به طوری که حداکثر میزان مونوکسیدکربن در اتمسفر ایران در ترازهای تحتانی متمرکز شده و به ندرت از تراز ۲۵۰ هکتوپاسکال به بالاتر فراتر می‌رود. ولی به طور مشخص بیشترین چگالی گاز مونوکسیدکربن از تراز سطحی تا تراز ۷۰۰ هکتوپاسکال مشهود می‌باشد. لایه‌ی مذکور تشکیل دهندهی تروپوسفر تحتانی می‌باشد که به شدت از خصوصیات فیزیکی سطح زمین و لایه‌ی مرزی سیاره‌ای تأثیر می‌پذیرد. همچنین نتایج حاصله بیانگر کاهش روند میزان گاز آلایندهی مونوکسیدکربن در اتمسفر ایران بوده‌است به طوری که در سالهای آخر دورهی آماری در مقایسه با سالهای آغازین دورهی آماری، حدود ۳۰ درصد از میزان مونوکسیدکربن در اتمسفر ایران کاهش یافته‌است.

## منابع

- Ait El Cadi, M.; Y. Khabbal, and L. Idrissi. ۲۰۰۹. Carbon monoxide poisoning in Morocco during ۱۹۹۹-۲۰۰۷. *J Forensic Leg Med.* ۱۶: ۳۸۵-۳۸۷.
- Arellano Jr, A. F.; K. Raeder, J. L. Anderson, P. G. Hess, L. K. Emmons, D. P. Edwards, G. G. Pfister, T. L. Campos, and G. W. Sachse. ۲۰۰۷. Evaluating model performance of an ensemble based chemical data assimilation system during INTEX-B fieldmission, *Atmos. Chem. Phys.* ۷: ۵۶۹۵-۵۷۱۰. DOI: ۱۰,۵۱۹۴/acp-۷-۵۶۹۵-۲۰۰۷.
- Aumann, H.; D. Gregorich, S. Gaiser, and M. Chahine. ۲۰۰۵. AIRS hyper-spectral measurements for climate research: Carbon dioxide and nitrous oxide effects, *Geophys. Res. Lett.* ۳۲: L۰۵۸۰۶. DOI: ۱۰,۱۰۲۹/۲۰۰۴GL۰۲۱۷۸۴.
- Bascom, R. ۱۹۹۶. Health effects of outdoor air pollution (Part ۲). *American journal of respiratory and critical care medicine*, ۱۵۳: ۴۷۷-۴۹۸. DOI: org/۱۰,۱۱۶۴/ajrccm.۱۵۳,۲,۸۵۶۴۰۸۶.
- Bowman, K.; W. Rodgers, C. D. Kulawik, S. S. Worden, J. Sarkissian, E. Osterman, G. Steck, T. Luo, M. Eldering, A. Shephard, M. Worden, H. Lampel, M. Clough, S. Brown, P. Rinsland, C. Gunson, M. and R.

- Beer. ۲۰۰۶. Tropospheric Emission Spectrometer: Retrieval method and error analysis, *IEEE T. Geosci. Remote*, ۴۴: ۱۲۹۷-۱۳۰۷. DOI: ۱۰.۱۱۰۹/TGRS.۲۰۰۶.۸۷۱۲۳۴.
- Cullis, C.F.; M. Man's. ۱۹۸۹. emissions of carbon monoxide and hydrocarbons into the atmosphere. *Atmospheric environment*, ۲۳: ۱۱۹۵-۱۲۰۳.
- De Souza, S. G.; L.Strow, B. Imbiriba, K. McCann, R. Hoff, M. Hannon and O. Torres. ۲۰۱۰. Infrared retrievals of dust using AIRS: Comparisons of optical depths and heights derived for a North African dust storm to other collocated EOS ATrain and surface observations, *J. Geophys. Res*, ۱۱۵: D۱۵۲۰۱. DOI: org/۱۰.۱۰۲۹/۲۰۰۹JD۰۱۲۸۴۲.
- Deeter, M.; D. Edwards, J. Gille, and J. Drummond. ۲۰۰۷. Sensitivity of MOPITT observations to carbon monoxide in the lower troposphere, *J. Geophys. Res*, ۱۱۲: D۲۴۳۰۶. DOI: ۱۰.۱۰۲۹/۲۰۰۷JD۰۰۸۹۲۹.
- DeSouzaS, L.; A.Strow, X.Tangborn, X. Huang, X. Liu and Q. Yang. ۲۰۱۸. Inglefootprint retrievals for AIRS using a fast TwoSlab cloudrepresentationmodel and the SARTA all-sky infrared radiative transfer algorithm, *Atmos. Meas. Tech*, ۱۱: ۵۲۹-۵۵۰, DOI:org/۱۰.۵۱۹۴/amt-۱۱-۵۲۹.
- Di Maio, V.J.; D. Di Maio. ۲۰۰۱. *Forensic pathology*. Boca Raton, London, New York, Washington: CRC Press.
- Ernst, A.; J.Zibrak. ۱۹۹۹. *Carbon monoxide poisoning*. *N Engl J Med*, ۳۴۰: ۱۲۹۰.
- Flachsbart, P.G. ۱۹۹۵. Long-term trends in United States highway emissions, ambient concentrations, and in-vehicle exposure to carbon monoxide in traffic, *Journal of Exposure Analysis and Environmental Epidemiology*, ۵: ۴۷۳-۴۹۵.
- Guerova, G.; I.Bey, J.Attié, R. V.Martin, J.Cui and M.Sprenger. ۲۰۰۶. Impact of transatlantic transport episodes on summertime ozone in Europe, *Atmos. Chem. Phys*, ۶: ۲۰۵۷-۲۰۷۲. DOI: ۱۰.۵۱۹۴/acp-۶-۲۰۵۷-۲۰۰۶.
- Homer, C.D.; DA. Engelhart. ۲۰۰۵. Carbonmonoxide – related deaths in a Metropoloten County in the USA: an ۱۱-year study. *Forensic Sci Int* ۲۰۰۵, ۱۴۹: ۱۵۹-۶۵.
- Irion, F.W.; B.H.Kahn, M.M.chreier, E.J.Fetzer, E.Fishbein, D.Fu, P.Kalmus, R.C.Wilson, S.Wong and Q.Yue. ۲۰۱۸. Singlefootprint retrievals of temperature, water vapor and cloud properties from AIRS, *Atmos. Meas. Tech*, ۱۱: ۹۷۱-۹۹۵.
- Kanakidou, M.; and P. J. Crutzen. ۱۹۹۹. The photochemical source of carbon monoxide: Importance, uncertainties, and feedbacks, *Chemosphere Global Change Sci*, ۱: ۹۱-۱۰۹. DOI: ۱۰.۱۰۱۶/S۱۴۶۵-۹۹۷۲(۹۹)۰۰۰۲۲-۷.
- Kopacz, M.; D.Jacob, J. A.Fisher, J. A.Logan, L.Zhang, I. A.Megretskaiia, R. M.Yantosca, K.Singh, D. K. Henze, J. P.Burrows and P.Nedelec. ۲۰۱۰. Global estimates of CO sources with high resolution by adjoint inversion of multiple satellite datasets (MOPITT, AIRS, SCIAMACHY, TES), *Atmos. Chem. Phys*, ۱۰: ۸۵۵-۸۷۶. DOI: ۱۰.۵۱۹۴/acp-۱۰-۸۵۵-۲۰۱۰.
- Li, L.; A. Hsu, PK. Moore. ۲۰۰۹. Actions and interactions of nitric oxide, carbon monoxide and hydrogen sulphide in the cardiovascular system and in inflammationa tale of three gases!. *Pharmacology & Therapeutics*. ۱۲۳: ۳۸۶-۴۰۰. DOI: ۱۰.۱۰۱۶/j.pharmthera.۲۰۰۹.۰۵.۰۰۵. PMID ۱۹۴۸۶۹۱۲
- Maddy, E. S, and C. D. Barnet. ۲۰۰۸. Vertical resolution estimates in version ۵ of AIRS operational retrievals, *IEEE Trans. Geosci and Remote Sensing*, ۸: AUGUST ۲۰۰۸.
- Maddy, E. S.; S. G.DeSouza-Machado, N. R. Nalli, C. D.Barnet, L.Strow, W.Wolf, H.Xie, and P.Schou. ۲۰۱۲. On the effect of dust aerosols on AIRS and IASI operational level ۲ products, *Geophys. Res. Lett*, ۳۹: L۱۰۸۰۹. DOI: org/۱۰.۱۰۲۹/۲۰۱۲GL۰۵۲۰۷۰.
- Martinie, R.J.; J.Bultema, N.Vander Wal, B.J.Burkhart, D.A.Vander, and L. Roger. ۲۰۱۱. Bond Order and Chemical Properties of BF, CO, and N<sub>۲</sub>. *Journal of Chemical Education*. ۸۸ : ۱۰۹۴-۱۰۹۷. DOI: ۱۰.۱۰۲۱/ed۱۰۰۷۵۸۴. ISSN ۰۰۲۱-۹۵۸۴.
- McMillan, W. W.; J. X. Warner, M.McCourt Comer, E.Maddy, A.Chu, L.Sparling, E.Eloranta, and W.Wolf. ۲۰۰۸. AIRS views transport from ۱۲ to ۲۲ July ۲۰۰۴ Alaskan/Canadian fires: Correlation of AIRS CO and MODIS AOD with forward trajectories and comparison of AIRS CO retrievals with DC-۸ in situ measurements during INTEX-A/ICARTT, *J. Geophys. Res*, ۱۱۳: D۲۰۳۰۱. DOI: ۱۰.۱۰۲۹/۲۰۰۷JD۰۰۹۷۱۱.



- McMillan, W.W.; K. Evans, C. Barnet, E. Maddy, G. Sachse, and G. Diskin. ۲۰۱۰. AIRS Version ۵ CO retrieval: Algorithm description and validation, *IEEE Transactions on Geoscience and Remote Sensing*, ۴۹: ۲۸۰۲ - ۲۸۱۳. DOI: ۱۰.۱۱۰۹/TGRS.۲۰۱۱.۲۱۰۶۵۰۵.
- Myhre, G.; D. Shindell, F. Bréon, W. Collins, J. Fuglestedt, J. Huang, D. Koch, J. Lamarque, D. Lee, and B. Mendoza. ۲۰۱۳. *Anthropogenic and natural radiative forcing, in Climate change*. The Physical Science Basis. Pp: ۶۵۸-۷۴۰, Cambridge Univ. Press, Cambridge, U.K., and New York.
- Penney, D.G. ۲۰۰۰. *Carbon Monoxide Toxicity*, CRC Press, p. ۵, ISBN ۰-۸۴۹۳-۲۰۶۵-۸.
- Pfister, G.; P. G. Hess, L. Emmons, J. Lamarque, C. Wiedinmyer, D. Edwards, G. Pétron, J. Gille and G. Sachse. ۲۰۰۵. Quantifying CO emissions from the ۲۰۰۴ Alaskan wildfires using MOPITT CO data. *Geophys Res Lett*, ۳۲: ۲۵-۳۶. DOI: ۱۰.۱۰۲۹/۲۰۰۵GL۰۲۲۹۹۵.
- Popovic, V.M.; T.C. Atanasijevic, S.D. Nikolic, J.R. Micic. ۲۰۰۹. *Concentration of carbon-monoxide in carbonized bodies - Forensic aspects. Legal Medicine*, ۱۱: S۳۱۸-S۳۲۰. DOI.org/۱۰.۱۰۱۶/j.legalmed.۲۰۰۹.۰۱.۰۴۵.
- Raub, J.; M. Nolf and N. Hampson. ۲۰۰۰. Carbon monoxide poisoning--a public health perspective. *Journal of Toxicology*, ۱۴۵: ۱-۱۴.
- Richard, P. ۲۰۱۲. *Sittig's Handbook of Toxic and Hazardous Chemicals and Carcinogens* (۷ ed.). Elsevier. p. ۵۷۲. ISBN ۹۷۸-۱-۴۳۷۷-۷۸۶۹-۴. Retrieved ۵ September ۲۰۱۵.
- Rsser, D.; B. Schneider. ۱۹۹۵. Carbon monoxide-related deaths from ۱۹۸۴ to ۱۹۹۳ in Vienna, Austria. *J Forensic Sci*, ۴۰: ۳۶۸-۷۱.
- Rudolf, W. ۱۹۹۴. *Concentration of air pollutants inside cars driving on highways and in downtown areas*. The science of the total environment, ۱۴۶/۱۴۷: ۴۳۳-۴۴۴.
- Shahbazi, H.; M. Reyhanian, V. Hosseini, H. Afshin. ۲۰۱۶. The Relative Contributions of Mobile Sources to Air Pollutant Emissions in Tehran, Iran an Emission Inventory Approach." *Emission Control Science and Technology*, ۱: ۴۴-۵۶.
- Sun, Wong.; E. J. Fetzer, M. Schreier, G. Manion, E. F. Fishbein, B.H. Kahn, Q. Yue, F. W. Irion. ۲۰۱۵. Cloud-induced uncertainties in AIRS and ECMWF temperature and specific humidity, *J. Geophys. Res. Atmos*, ۱۲۰: ۱۸۸۰-۱۹۰۱. DOI: ۱۰.۱۰۰۲/۲۰۱۴JD۰۲۲۴۴۰.
- Susskind, J.; J. M. Blaisdell, L. Iredell, and F. Keita. ۲۰۱۰. Improved temperature sounding and quality control methodology using AIRS/AMSU data: the AIRS Science Team Version ۵ retrieval algorithm. *IEEE Transactions on Geoscience and Remote Sensing*, ۴۹: ۸۸۳ - ۹۰۷. DOI: ۱۰.۱۱۰۹/TGRS.۲۰۱۰.۲۰۷۰۵۰۸.
- Theilade, P. ۱۹۹۰. Carbon Monoxide Poisoning: Five Years' Experience in a Defined concentrations, and in-vehicle exposure to carbon monoxide in traffic. *American Journal of Forensic Medicine and Pathology*, ۱۱: ۲۱۹-۲۲۵.
- Tikuisis, P.; D.M. Kane, T.M. McLellan, F. Buick, S.M. Fairburn. ۱۹۹۲. Rate of formation of carboxyhemoglobin in exercising humans exposed to carbon monoxide. *Journal of Applied Physiology*: ۱۳۱۱-۹. DOI: ۱۰.۱۱۵۲/jap.۱۹۹۲.۷۲.۴.۱۳۱۱. PMID ۱۵۹۲۷۲۰.
- Verschueren, K. ۲۰۰۱. *Handbook of environmental data on organic chemicals*, ۴<sup>th</sup> ed. New York, NY, John Wiley & Sons.
- Waring, R.H.; G.B. Steventon, S.C. Mitchell. ۲۰۰۷. *Molecules of death*. Imperial College Press. p. ۳۸. ISBN ۹۷۸-۱-۸۶۰۹۴-۸۱۴-۵.
- Warner, J.; M. McCourt Comer, C. D. Barnet, W. W. McMillan, W. Wolf, E. Maddy and G. Sachse. ۲۰۰۸. A comparison of satellite tropospheric carbon monoxide measurements from AIRS and MOPITT during INTEX-A. *J. Geophys. Res*, ۱۱۲: D۱۲S۱۷, DOI: ۱۰.۱۰۲۹/۲۰۰۶JD۰۰۷۹۲۵.
- Wong, S.; E. J. Fetzer, M. Schreier, G. Manion, E. F. Fishbein, B. H. Kahn, Q. Yue, and F. W. Irion. ۲۰۱۵. Cloud-induced uncertainties in AIRS and ECMWF temperature and specific humidity. *Journal of Geophysical Research: Atmospheres*, ۱۲۰: ۱۸۸۰-۱۹۰۱.
- Worden, H. M. ۲۰۱۳. Decadal record of satellite carbon monoxide observations, *Atmos. j. Chem. Phys.* DOI: ۱۰.۵۱۹۴/acp-۱۳-۸۳۷.

- Yue, Q. ۲۰۱۳. Transitions of cloud-topped marine boundary layers characterized by AIRS, MODIS, and a large eddy simulation model. *J. Geophys. Res.*, ۱۱۸: ۸۵۹۸-۸۶۱۱. DOI: ۱۰.۱۰۰۲/jgrd.۵۰۶۷۶.
- Yue, Q.; B. H. Kahn, M. Schreier, H. Xiao, E. J. Fetzer, J. Teixeira, and K. uselj. ۲۰۱۳. Transitions of cloud-topped marine boundary layers layers characterized by AIRS, MODIS, and a large eddy simulation model. *J. Geophys. Res. Atmos.*, ۱۱۸: ۸۵۹۸-۸۶۱۱. DOI: ۱۰.۱۰۰۲/jgrd.۵۰۶۷۶.
- Yurganov, L. N.; W. W. McMillan, A. V. Dzhola, E. I. Grechko, N. B. Johnes, and G. R. vanderwerf. ۲۰۰۸. Global AIRS and MOPITT CO measurements: Validation, comparison, and links to biomass burning variations and carbon cycle. *J. Geophys. Res.*, ۱۱۳: D۰۹۳۰۱. DOI: ۱۰.۱۰۲۹/۲۰۰۷JD۰۰۹۲۲۹.